

## تحضير ودراسة خلائط بوليمرية كمواد تعبئة متفككة احيائياً

أ.د. ناهده جمعة

أسراء جاسم محمد

الجامعة التكنولوجية / قسم العلوم التطبيقية / فرع المواد / 2016

### الخلاصة:-

أجريت هذه الدراسة على ثلاث مراحل: المرحلة الأولى: تحضير خلائط نشا/بولي فينيل الكحول (Starch/PVA) متفككة احيائياً لأغراض التعبئة والتغليف. حضرت خلائط ثنائية من النشا/بولي فينيل الكحول (Starch/PVA) وبنسب مختلفة من النشا (5, 10, 15, 25, and 35%). والمرحلة الثانية: تحضير خلائط ثلاثية من النشا/السكر/بولي فينيل الكحول (Starch/Sugar/PVA) وبنسب النسب السابقة وذلك بطريقة الاذابة للحصول على نماذج بشكل شرائح رقيقة. والمرحلة الثالثة اختيار النسبة ذات الأعلى قيمة لمتانة الشد لإجراء عملية البلمرة المشتركة باستخدام الميثيل ميثا اكريليت (MMA). أجريت فحوص التحليل التفاضلي الكالوريميتري (DSC) Differential Scanning Calorimetry. أظهرت نتائج دراسة درجة حرارة الانتقال الزجاجي ( $T_g$ ), ودرجة حرارة الانصهار ( $T_m$ ) تناقص في ( $T_m$  و  $T_g$ ) بأزدياد نسبة النشا والسكر لخلائط النشا/بولي فينيل الكحول (Starch/PVA) وخلائط النشا/السكر/بولي فينيل الكحول (Starch/Sugar/PVA) على التوالي. لوحظ وجود درجة انتقال زجاجي ( $T_g$ ) واحدة ولجميع منحنيات (DSC) والتي تؤكد بأن الخلائط قابلة للامتزاج (Miscible blend). أجريت الفحوصات الميكانيكية وأظهرت النتائج تناقص في متانه الشد بزيادة نسبة النشا وبشكل متدرج ومنتظم. تناقص متانة الشد أيضاً بأزدياد نسبة السكر في خلائط النشا/السكر/بولي فينيل الكحول (Starch/Sugar/PVA) ولكنها أعلى مما هو عليه الحال في خلائط النشا/بولي فينيل الكحول (Starch/PVA) وبشكل خاص عند (5% Sugar/5% Starch/PVA) تظهر تأثيرات لدنة في متانة الشد لأفلام الخلائط. وان أعلى متانة للشد كانت بالنسبة لخلائط (5% Starch/PVA) وكانت بحدود (23.16MPa) ولخلائط (5% Starch/Sugar/PVA) وكانت مساوية الى (57.1MPa) كما بينت النتائج تناقص في متانة الشد بزيادة نسبة السكر، فعليه أجريت عملية التطعيم بالمثيل ميثا اكريليت وبنسب (5, 10, and 15%) ولوحظ أيضاً أن متانة النماذج المطعنة بالمثل ميثا اكريليت (MMA) ذات متانة أقل مما هو عليه الحال قبل التطعيم. أظهرت النتائج ان زمن الذوبانية لأفلام الخلائط النشا/بولي فينيل الكحول (Starch/PVA) يقل بزيادة نسبة النشا في الخلائط. أظهرت النتائج زيادة في قابلية الخلائط مدار البحث على التفكك بالماء وبالتالي يمكن استخدامها ككياس تسوق قابلة للتحلل او الذوبان في الماء وفي تصنيع المنتجات ذات الاستخدام لمرة واحدة (Disposable products). أظهرت النتائج ان قابلية التفكك البيولوجي تزداد بشكل سريع خلال الاسابيع الستة الأولى (6 weeks) ولجميع النماذج, وان أعلى نسبة لفقدان الوزن كانت (12.5%, 11.3%, 14.9%, 13.4%, 14.7%), وذلك لخلائط (35% Starch/PVA), (35% Sugar/35% Starch/PVA) و (15% Sugar/15% Starch) و (PVA grafted with MMA) على التوالي. كما ان فحوص (FTIR) و (SEM) قد تم تفسيرها.

### 1- المقدمة

للتحلل هو تحلل البوليمر عن طريق آلية التدهور الأولية وتكون من خلال عملية الأيض بواسطة الكائنات الحية الدقيقة وتشير هذه العملية إلى تحلل واستيعاب البوليمرات بواسطة الكائنات الحية الدقيقة التي تعيش على منتجات التحلل. الكائنات الحية الأكثر أهمية في التحلل البيولوجي هي الفطريات والبكتيريا والطحالب [1].

بذلت جهود في جميع أنحاء العالم لتطوير الأبحاث كخيار لإدارة نفايات البوليمرات القابلة للتحلل في البيئة. التحلل البيولوجي (التدهور الأحيائي) هو التحلل الكيميائي للمواد (البوليمرات) الناجم عن نشاط الكائنات المجهرية مثل البكتيريا، والفطريات، والطحالب. التعريف الأكثر شيوعاً للبوليمرات القابلة

أ.د. ناهده جمعة

أسراء جاسم محمد

ويعتبر السكر من المواد الملدنة ذات الأوزان الجزيئية الواطئة التي تضاف للبوليمرات للتغلب على الهشاشة الناتجة عن قوى الربط العالية بين الجزيئات. حيث تعمل هذه المواد الملدنة على تقليل القوى وزيادة الحركة للسلاسل البوليمرية وبالتالي تحسين المرونة، وإمكانية المعالجة. يضاف السكر للمواد المتحللة بإلوجيا لزيادة معدل التحلل. ويعتبر السكر مادة ملدنة آمنة بيئياً و غير سامة وخاصة إذا كان المنتج سىستعمل في تعبئة وتغليف الأغذية [8].

## 2- الجانب العملي:

### 2-1 المواد المستخدمة

درجة النقاوة	الشركة المجهزة	المواد المستخدمة
99.9	Barcelona Espana	البولي فينيل الكحول (PVA)
99.9	SCR (China)	النشا (starch)
99.9	Barcelona Espana	السكر (sugar)
99.0	Sigma	البنزوفينون
99.0	New Stetic	المثل ميثا اكريليت (MMA)
99.9	-----	الميثانول
99.9	-----	الايثانول
99.9	-----	الايثر
99.0	-----	الماء المقطر

### 2-2 تحضير النماذج

#### A- تحضير نماذج (PVA)

لتحضير نماذج (PVA) تتم إذابة (7g) من مسحوق (PVA) في (100ml) من الماء المقطر ويتم وضع المحلول في حمام مائي مع زيادة درجة الحرارة تدريجياً إلى (80°C). ويسعمل أيضاً خلاط مغناطيسي (Magnetic Stirrer) لمدة ساعة لخلط المحلول والحصول على محلول متجانس. بعدها يتم تبريد المحلول تدريجياً إلى درجة حرارة الغرفة مع الاستمرار بالتحريك لمدة ساعة لضمان تجانس المحلول. ويتم صب المحلول على صفائح زجاجية Glass (Plat). وتترك على سطح مستوي لمدة 24hr. ويمكن أزاله النماذج المحضرة باستعمال الملقط.

البوليمرات الطبيعية (البروتينات والسكريات والأحماض النووية) تكون متحللة في النظم البيولوجية عن طريق الأكسدة والتحلل المائي [2]. المواد القابلة للتحلل تتحلل إلى الكتلة الحيوية (Biomass) وثاني أكسيد الكربون (CO<sub>2</sub>) والميثان (CH<sub>4</sub>). في حالة البوليمرات الاصطناعية، استخدام الميكروبات هو العمود الفقري لمصدر الكربون المطلوب [3].

التحلل البيولوجي للمواد يحدث في ثلاثة مراحل: [4]

#### 1- التدهور الأحيائي BioDeterioration

#### 2- التجزئة الأحيائية BioFragmentation

#### 3- الاستيعاب Assimilation

حدوث التدهور الأحيائي (Biodeterioration) للمواد هو النتيجة الإجمالية لكثير من العوامل الهادمة مثل التحلل الميكانيكي، والتحلل الحراري، والتدهور بسبب وجود الرطوبة، والأوكسجين، الأشعة فوق البنفسجية، والملوثات البيئية. وسبب ذلك الكمية الضخمة من الكائنات الحية الدقيقة التي تتشبث على سطح المواد.

أما التجزئة الأحيائية (Bio fragmentation) فإن الكائنات الحية الدقيقة تزيد تكاثرها في هذه العملية وتفرز إنزيمات وجذور حرة، والذي يكسر الجزيئات الضخمة إلى أوليغومرات، ومركبات ذات جزيئات مكونة من مونمرات متشابهة، والمونومرات.

وخطوة الاستيعاب (Assimilation) تشمل، الطاقة، والكتلة الحيوية الجديدة، ومختلف نواتج الأيض التي تستخدمها الكائنات الدقيقة المنتجة، والجزيئات الغازية البسيطة، والأملاح المعدنية يتم إطلاقها في البيئة.

يعتبر (PVA) مادة متوافقة بإلوجيا وغير سامة يستعمل بشكل رئيسي في منتجات الألياف والشرائح مثل الأغلفة الورقية وفي الصناعات الصيدلانية والتغليف [5]. يمكن استخدام (PVA) كخليط مع النشا حيث يمكن استخدام هذه الخلائط في تصنيع الأغشية البلاستيكية القابلة للتحلل المستخدمة في التعبئة والتغليف [6]. عادة ما يستخدم النشا كخلائط لتعزيز التحلل البيولوجي لمصفوفة البوليمر من خلال تحلل النشا تاركا وراء مسامات يمكن اختراقها في البوليمرات الصناعية التي تكون بطيئة التحلل [7].

0.14	25%Sugar/ 25%starch/PVA	Sugar/Starch/PVA
0.15	35%Sugar/ 35%starch/PVA	Sugar/Starch/PVA

### D- تحضير محلول البادئ الضوئي والمثل ميثا اكريليت (MMA/Photo initiator)

يحضر محلول البنزوفينون (Benzophenone) بأذابة (1g) من مسحوق البنزوفينون في (6ml) من الايثر (Ether) و(7.5ml) من الايثانول (Ethanol). وبعدها يتم خلطه مع المثل ميثا اكريليت MMA ويحضر المحلول بالنسب التالية:  
93%Methanol, 2%photoinitiator, 5%MMA وبعد تحضير المحلول يتم غمر العينات ذات التراكيز (5%Starch/5% Sugar /PVA), (10%Starch/10%Sugar /PVA), (15%Starch/15%Sugar/PVA), المحضرة في الفقرة (C) فيه لمدة ثلاث دقائق بعدها تترك لتجف ثم يتم تعريضها للاشعة فوق البنفسجية بأستخدام جهاز (UV-Weatherizing) المصنع من قبل شركة (Accelerated(Weathering)) Tester-QUV/Spray, وبأستخدام طول موجي (254-313nm) ولمدة (25hr) للحصول على التشابك وتكوين البلمرة المشتركة (Copolymerizing).

### 3- النتائج والمناقشة:

#### 3-1 دراسة نتائج التحليل التفاضلي الكالوريميترى

##### (DSC)

يتم تفاعل التفكك البايولوجي من خلال دراسة درجة حرارة الانتقال الزجاجي ( $T_g$ ), ودرجة حرارة الانصهار ( $T_m$ ) وذلك بأستخدام تقنية التحليل التفاضلي الكالوريميترى (Differential Scanning Calorimetry). أظهرت النتائج تناقص في  $T_m$  و  $T_g$  بأزدياد نسبة النشا والسكر لخلائط النشا/بولي فينيل الكحول (Starch/PVA) وخلائط النشا/السكر/بولي فينيل الكحول

### B- تحضير الخلائط البوليمرية الثنائية نشا/ بولي

#### فينيل الكحول (Starch/PVA)

يتم تحضير خلائط نشا/ بولي فينيل الكحول (Starch/PVA) بواسطة خلط محلول (PVA) المحضر في الفقرة السابقة (A) مع النشا وبالنسب الموضحة في الجدول (1).

#### الجدول 1. يبين خصائص الخلائط البوليمرية المحضرة.

السمك (mm)	النسبة % Ratio	الخلائط البوليمريه Polymer Blend
0.11	5%starch/PVA	Starch/PVA
0.11	10%Starch/PVA	Starch/PVA
0.12	15%starch/PVA	Starch/PVA
0.13	25%starch/PVA	Starch/PVA
0.14	35%starch/PVA	Starch/PVA

وتجرى عملية الخلط عند مرحلة التبريد لمحلول (PVA) حيث تضاف اليه النسب المئوية من النشا وحسب التراكيز المذكورة في الجدول أعلاه. ويتم ذلك بخلط المحلول بأستخدام خلط مغناطيسي للحصول على محلول متجانس. وتصب النماذج المحضرة على الصفائح الزجاجية (Glass Plat).

### C- تحضير خلائط البوليمرية الثلاثية نشا/

#### سكر/بولي فينيل الكحول (Starch/Sugar

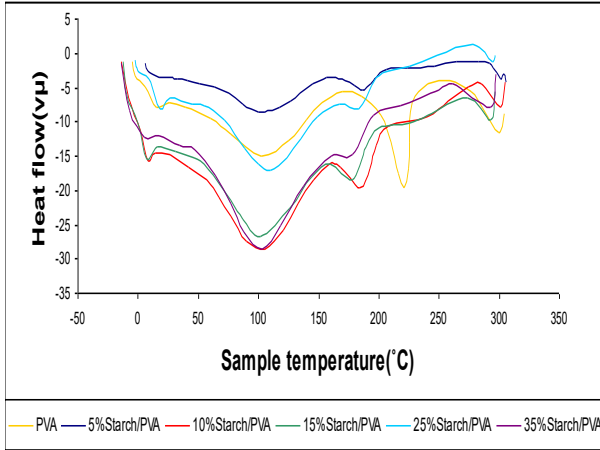
##### (/PVA)

ويتم ذلك بخلط محلول (PVA) المحضر في الفقرة (A) مع النشا والسكر والنسب موضحة في الجدول الاتي (2). حيث تضاف النسب الموضحة في مرحلة التبريد (عند تبريد محلول PVA الى درجة حرارة الغرفة) ثم تصب النماذج كما ورد في الفقرة (A).

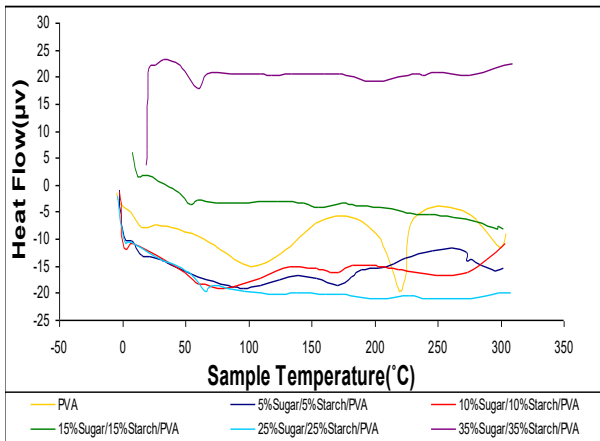
#### الجدول 2. يبين خصائص النماذج البوليمرية المحضرة.

السمك (mm)	النسبة % Ratio	الخلائط البوليمريه Polymer Blend
0.1	5%Sugar/ 5%starch/PVA	Sugar/Starch/PVA
0.12	10%Sugar/ 10%starch/PVA	Sugar/Starch/PVA
0.13	15%Sugar/ 15%starch/PVA	Sugar/Starch/PVA

الكحول (Starch/Sugar/PVA) خلال عملية التبريد ويبين ارتفاع في درجة الانصهار لكن اقل من (PVA)[14].



شكل 1. منحنيات DSC للـ (PVA) وخلائط (Starch/PVA)



شكل 2. منحنيات DSC للـ (PVA) وخلائط (Sugar/Starch/PVA)

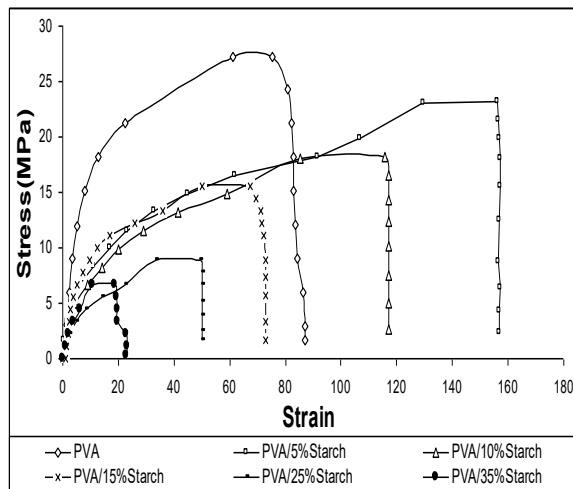
جدول 3. يوضح درجات حرارة الانصهار  $T_m$  وحرارة التحول الزجاجي  $T_g$  للنماذج المحضرة.

Polymer System	$T_g$ °C	$T_m$ °C
PVA	85.5	224
5%Starch/PVA	64.5	190
10%Starch/PVA	65	194
15%Starch/PVA	65	195

(Starch/Sugar/PVA) على التوالي: الاشكال (1) الى (2) لوحظ وجود درجة انتقال زجاجي ( $T_g$ ) واحدة ولجميع منحنيات (DSC) والتي تؤكد بأن الخلائط قابلة للامتزاج. وتعزى هذه القابلية على الامتزاج الى الاواصر الهيدروجينية ما بين PVA والنشا (Starch) وهذا يتفق مع نتائج (FTIR) والتي تبين قابلية الذوبان للخلائط والتي تكون مقرونة مع تفاعلات التأصر الهيدروجيني ما بين مجاميع الهيدروكسيد (OH) في البولي فينيل الكحول والنشا. ونلاحظ من الجدول (3) ان نتائج  $T_m$  و  $T_g$  تعتمد بشكل رئيسي على محتوى المواد الملدنة حيث تقل بزيادة نسبة النشا والسكر [11, 12]. يعمل النشا مرشح للبولي فينيل الكحول (PVA) نظراً لكونه يعمل على تخفيض ( $T_g$ ) لشرائح الخلائط. على اية حال, فإن اسهام السكر يعمل على تقليل ( $T_m$ ) لخلائط النشا/سكر/بولي فينيل الكحول (Starch/Sugar/PVA) وبشكل ملحوظ. وعند ادخال السكر فإنه يعمل بشكل فعال على تقليل ( $T_g$ ) للبوليمر الاساس (PVA) [13]. من المعروف ان (PVA) يحتوي على طور بلوري وطور عشوائي فعلياً فإنه يمتلك سلوك معقد جداً عند تسخينه. وأن درجة الانتقال الزجاجي له ( $85.5^\circ\text{C}$ ) والناجمة عن عملية الاسترخاء الناتجة عن (Micro-Brownian Motion) الخاصة بالسلسلة الرئيسية للبولي فينيل الكحول (PVA), أن مقارنة مخطط (PVA) مع خلائط نشا / بولي فينيل الكحول (Starch/PVA) لانلا حظ وجود ( $T_g$ ) خاصة بالنشا يرجع ذلك الى حركية المقطع الخاصة بالبولي فينيل الكحول النقي العشوائي والتي تزداد بزيادة المواد الملدنة مثل السكر والنشا وتصبح اقل صلابة . وعند الدرجة الاعلى من ( $250^\circ\text{C}$ ) لانلا حظ هناك حصول تفكك حراري للنماذج ان التفاعل ما بين الجزيئات يعود الى وجود اواصر هيدروجينية ما بين (PVA) والنشا, وبالعكس بالنسبة للخلائط ذات نسبة نشا اعلى تكون المنطقة البلورية اقل والعشوائية اكثر ولا تحتاج الى طاقة عالية لتكسير الاواصر لتحويلها الى قوى جزيئية ضعيفة وبالتالي فإن الفرق القوي ما بين البلورية في الحالتين عند التركيز (25% Sugar, 35% Sugar) يعود الى معدل التبلور العالي لخليط النشا/سكر/بولي فينيل

لدونة النموذج وأستطالته ثم كسر النموذج [13] شكل (5).

الشكل (6) يبين متانة الشد لنماذج النشا/سكر/بولي فينيل الكحول (Starch/Sugar/PVA) ولثلاث تراكيز (5%, 10%, 15%) بعد التطعيم بالمثل ميثا أكرليت (MMA). لوحظ أيضاً تناقص في متانة الشد بزيادة نسبة السكر ولوحظ أيضاً أن متانة النماذج المطعمة بالمثل ميثا أكرليت (MMA) ذات متانة أقل مما هو عليه الحال قبل التطعيم شكل (7) ويعود ذلك الى تأثير اللدونة للسكر على سلاسل الاميلوز (Amylose) الموجودة في النشأ على مجاميع سلاسل (PVA) الجانبية. الاشكال (8) و(9) تبين لاستطالة (Elongation) للنماذج مدار البحث والنماذج قبل وبعد التطعيم بالمثل ميثا أكرليت (MMA). نلاحظ أقصى أستطالة لخلائط (Starch/PVA) عند (5% Starch/PVA) ثم تقل (10% Sugar/10% Starch/PVA) وبعد التطعيم (10% Sugar/10% Starch/PVA) ان التناقص في الاستطالة بزيادة نسبة السكر يعود الى ان الزيادة في تركيز المواد اللدنة يؤدي الى تقليل قوة التماسك للتجاذب مابين المادة اللدنة النشا والمادة اللدنة (PVA) فالذالك نلاحظ تناقص في معامل يونغ (Young Modulus) والذي يعاكس الأستطالة (Elongation) شكل (10), (11) [13].



25%Starch/PVA	65	192
35%Starch/PVA	65	194
5%Sugar/5%Starch/PVA	32	182
10%Sugar/10%Starch/PV A	42	180
15%Sugar/15%Starch/PV A	40. 5	174
25%Sugar/25%Starch/PV A	46	210
35%Sugar/35%Starch/PV A	49	210

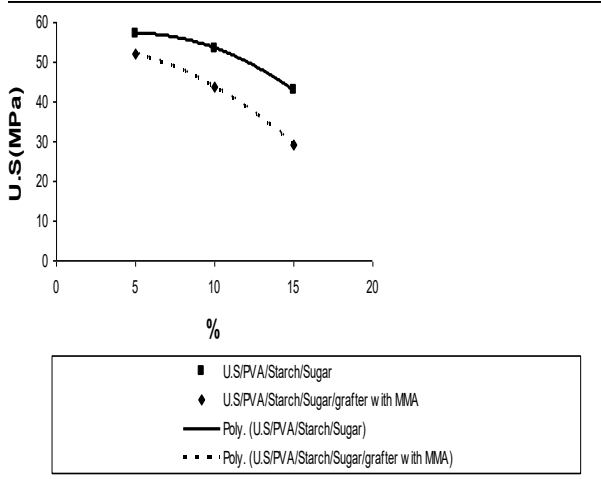
### 2-3 دراسة الخواص الميكانيكية Mechanical Properties Study

يبين الشكل (3) منحنى الاجهاد -المطاوعة (Stress-Strain) للبولي فينيل الكحول (PVA) قبل وبعد خلطه بالنشا وبمختلف النسب (5, 10, 15, 25, and 35%); لوحظ تناقص في متانة الشد بزيادة نسبة النشا وبشكل متدرج ومنتظم, ويرجع ذلك الى زيادة التبلور في شرائح الخلائط [10]. وقد اعزي ذلك الى أن (PVA) يمتلك عدد أكبر من مجاميع الهيدروكسيل والتي تمتلك متانة أعلى من النشا وخواص ميكانيكية أفضل. من ناحية اخرى يحتوي النشا أيضاً على مجاميع الهيدروكسيد (-OH), ولكن خلال عملية الأستلة (Acetylation) تقل تلك المجاميع مما يقلل من متانة الخليط [13,15].

في الشكل (4) نلاحظ تناقص متانة الشد بأزدياد نسبة السكر في خلائط النشا/سكر/بولي فينيل الكحول (Starch/Sugar/PVA) ولكنها أعلى مما هو عليه الحال في خلائط النشا/بولي فينيل الكحول (Starch/PVA) وبشكل خاص عند (5% Sugar/5% Starch/PVA) تظهر تأثيرات لدنة في متانة الشد لشرائح الخلائط. أن زيادة نسبة السكر تظهر تناقصاً أيضاً في متانة الشد ولكنها أعلى من خلائط النشا/بولي فينيل الكحول (Starch/PVA) الخالية من السكر وذلك لتناقص نسبة النشا فيها [13]. حيث أنه زيادة نسبة السكر تعمل على زيادة التأثيرات اللدنة والذي يزيد من

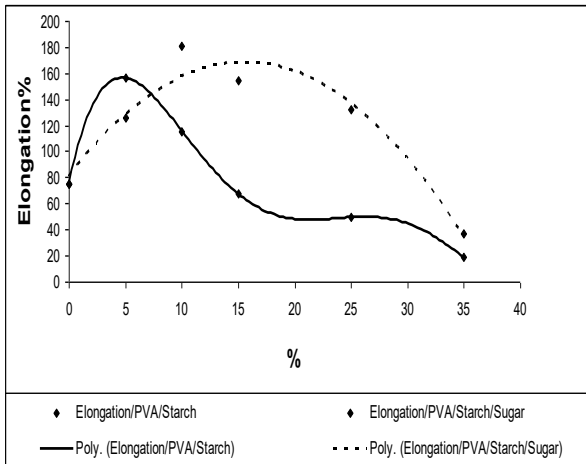


**الشكل 6. منحنيات اجهاد- انفعال ( Stress-Strain )  
Starch/Sugar/PVA/grafted ) لخلانط (Curve  
(with MMA**



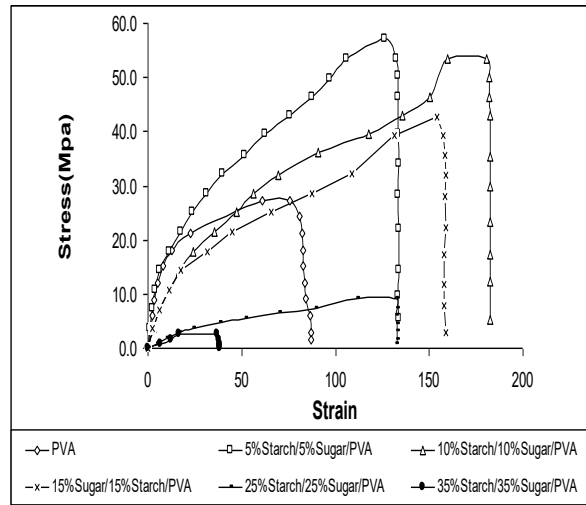
**الشكل 7. يوضح اعلى متانة شد لخلانط  
(Sugar/Starch/PVA)**

**(Starch/Sugar/PVA/grafted with MMA)**

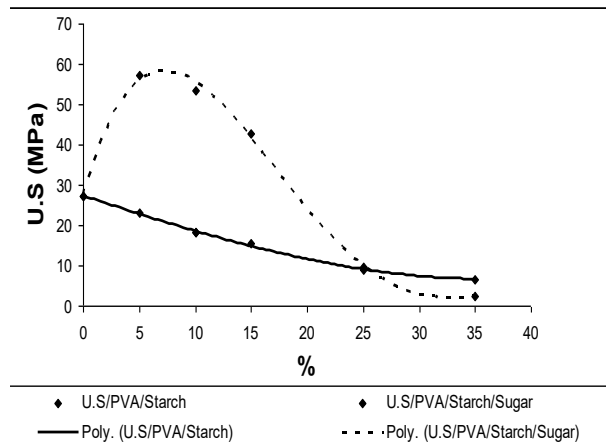


**شكل 8. يوضح الاستطالة للنماذج  
(Starch/PVA)  
(Starch/Sugar/PVA)**

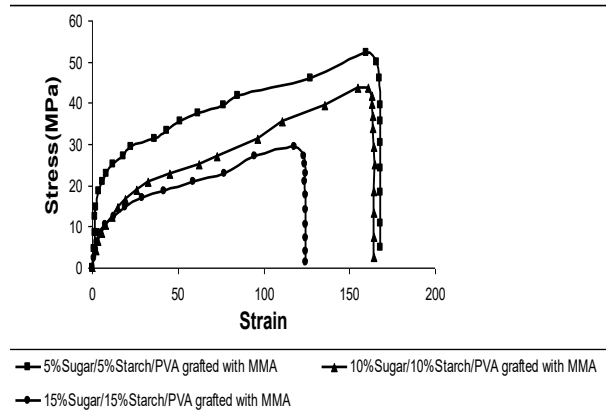
**الشكل 3. منحنيات اجهاد- انفعال ( Stress-Strain )  
لخلانط (Curve (Starch/PVA)**



**الشكل 4. منحنيات اجهاد- انفعال ( Stress-Strain )  
لخلانط (Curve (Starch/Sugar/PVA)**



**الشكل 5. يوضح اعلى متانه شد لنماذج  
(Sugar/Starch/PVA), (Starch/PVA)**

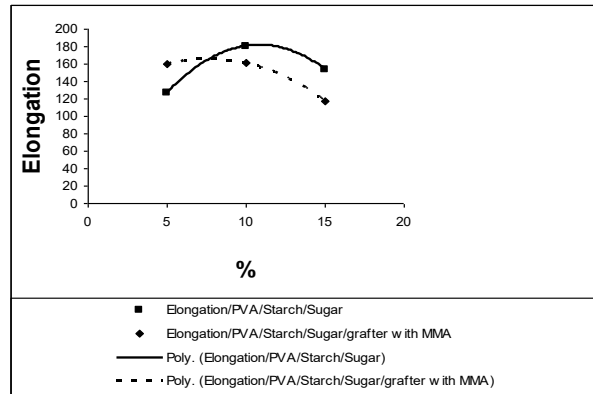


### 3-3 دراسة امتصاص الماء Water Study Uptake

ان تأثير محتوى (PVA) على ذوبان شرائح خلائط النشا/بولي فينيل الكحول (Starch/PVA) وبالنسب (5, 10, 15, 25, and 35%) قبل وبعد اضافة السكر وبنفس النسب السابقة, وقبل وبعد التطعيم (بالمثيل ميثا اكرليت (MMA) مبينة بالاشكال (12) و(13) و(14) على التوالي. أظهرت النتائج ان زمن الذوبانية لشرائح الخلائط النشا/بولي فينيل الكحول (Starch/PVA) يقل بزيادة نسبة النشا في الخلائط وقد اعزى ذلك الى مجاميع الهيدروكسيل (Hydroxyl groups) الموجودة في PVA [16, 17]. على اية حال ان الاواصر الهيدروجينية مابين الجزيئات او داخل الجزيئة والموجودة في مجاميع الهيدروكسيل في (PVA) والنشا تعزز من عملية ذوبان شرائح خلائط النشا/بولي فينيل الكحول (Starch/PVA) في الماء. ان اضافة الماء الى مجاميع الاستيت المتبقية من عملية تحلل (PVA) جزئياً والذي يمتلك خاصية المواد المحبة للماء (Hydrophobic) تعمل على تلاشي التآصر الهيدروجيني مابين الجزيئات والذرات في مجاميع الهيدروكسيل, مما يؤدي الى اذابة اعلى لشرائح الخلائط

في الماء وهذا يتفق مع الدراسات السابقة [18]. نظراً لان ازدياد اذابة النماذج مدار البحث بالماء تزداد بأزدياد محتوى (Citric acid contents) في الخلائط. وعلى العموم اذابة المواد غالباً مايبين انه يعود الى خاصية الطاقة الفعالة مابين المركبات وقوة التشتت ومركبات الحامض – قاعدة اضافة الى خواص التآصر الهيدروجيني [16, 19, 20]. من ناحية اخرى, فان ذوبانية البوليمر في المحاليل المائية تعتمد على عدة عوامل مثل الوزن الجزيئي وعلى المواد المضافة [21, 22], حيث تقل الذوبانية بزيادة الوزن الجزيئي لخلائط (Starch/PVA) [21].

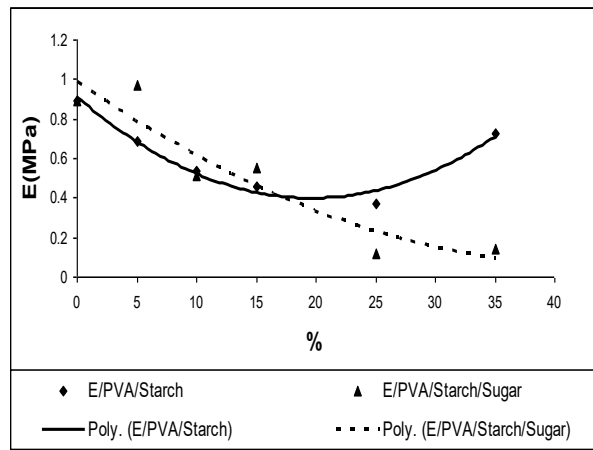
ان سعة امتصاص الماء والقابلية على التحلل يعتبران من الخواص الاكثر اهمية في المواد المتفككة بايولوجيا. يعتبر النشا والسكر من المواد الحساسة للماء كما ان مادة النشا تعتبر من المواد المطاوعة للحرارة تؤثر في الخواص الميكانيكية للخلائط. حيث تعمل على تقليل خاصية الحساسية للماء (Water



شكل 9. يوضح الاستطالة لنماذج

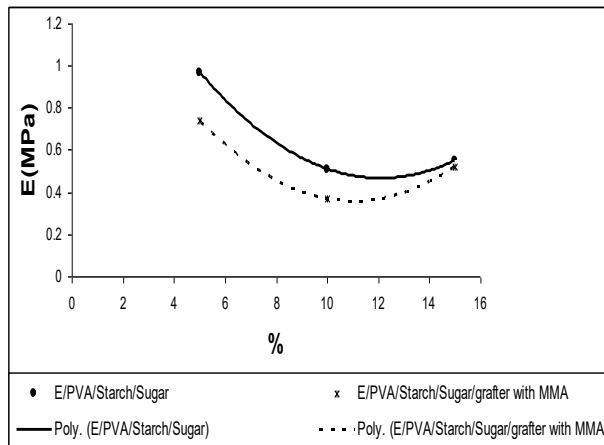
(Starch/Sugar/PVA)

(Sugar/Starch/PVA grafted with MMA),



الشكل 10. يوضح معامل يونك لنماذج (Starch/PVA) و

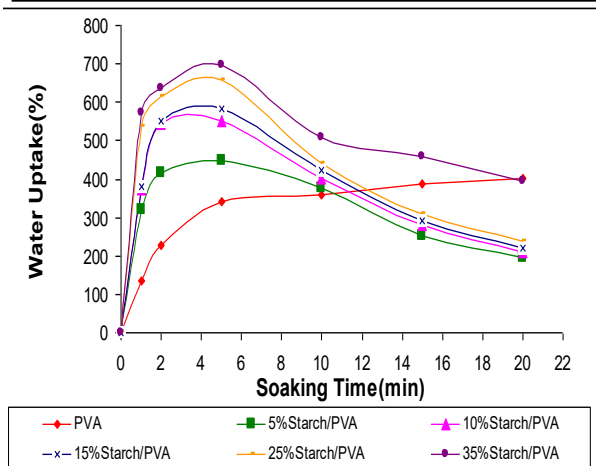
(Starch/Sugar/PVA)



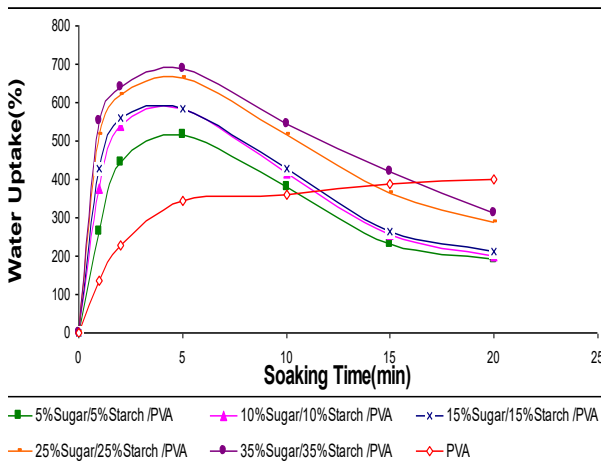
الشكل 11. يوضح معامل يونك لنماذج

(Sugar/Starch/PVA)

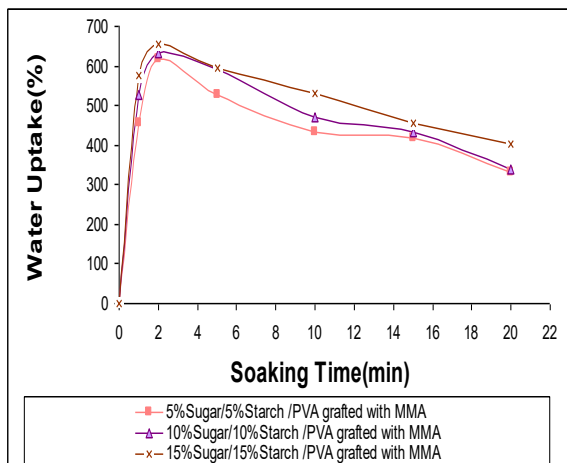
(Sugar/Starch/PVA grafted with MMA),



شكل 12. يبين امتصاص الماء للـ PVA و لخلانط (Starch/PVA)



شكل 13. يبين امتصاص الماء للـ PVA و لخلانط (Starch/Sugar/PVA)



شكل 14. يبين امتصاص الماء للـ (PVA) و لخلانط (Starch/Sugar/PVA grafted with MMA)

(Sensitivity) وتعزز من مقاومة المواد المطاوعة للحرارة للماء . يبين الشكل (12) و(13) حيث نلاحظ انها تسلك سلوك مثالي , حيث ان ربح الوزن الابتدائي ,ثم تبدأ مرحلة الاستقرار في عملية الامتصاص ثم يتم امتصاص الماء بشكل بطيء . يعمل التأصر الهيدروجيني مابين الجزيئات وبشكل خاص مابين المجاميع الهيدروكاربونية ( Hydrocarbons Groups) للنشا والـ PVA او السكر والـ PVA وكذلك السلاسل الجانبية تعمل على تعزيز عملية امتصاص الماء . بالنسبة للشكل (14) , نلاحظ ان عملية التطعيم بالمثيل ميثا اكرليت (MMA) تعمل على تعديل سطح شرائح الخلائط النشا/سكر /بولي فينيل الكحول (Starch/Sugar/ PVA), ويعود ذلك الى حقيقة ان سلسلة (Poly Saccharide) الخاصة بالنشا وبمجاميع (OH) الخاصة بـ(PVA) تكون مشغولة بـ(MMA) لذا فان هنالك فرصة بسيطة جداً لجزيئة الماء للامتصاص او الدخول الى داخل الشريحة [10] . ان مجاميع (MMA) يمكن ان تكون او اصغر هيدروجينية قوية مع مجاميع الهيدروكسيل في (PVA) والنشا وذلك تعمل على تحسين التفكك مابين الجزيئات وتماسك الاساس البوليمري البايولوجي وتقلل حساسية الماء ويظهر امتصاص بسيط للماء وفقدان في الوزن واضح [9] . ان تأثير السكر على المجاميع المطعمة يزيد من امتصاص الماء لخلائط النشا/سكر /بولي فينيل الكحول (Starch/Sugar/PVA) المطعمة بالـ(MMA) ويقلل من تراص الشريحة ويقلل التأصر الهيدروجيني مابين المجاميع الهيدروكاربونية الخاصة بالنشا والـ(PVA) والمجاميع الجانبية ويزيد من امتصاص الماء [23].



### 3-4 دراسة عملية الطمر في التربة Soil Burial Study

اجريت هذه الفحوصات من خلال طمر النماذج المحضرة في تربة جافة وعلى عمق (4cm) و (13cm) لدراسة تأثير الاوكسجين على عملية التفكك البايولوجي . تبين الاشكال من (15) الى (20) فقدان الوزن (Weight Loss) مع زمن الطمر ((Soiling Time (Week)).

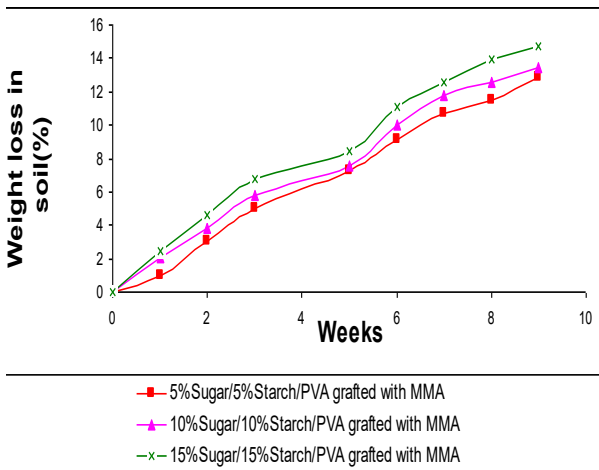
أظهرت النتائج ان قابلية التفكك البايولوجي تزداد بشكل سريع خلال الاسابيع الستة الاولى (6weeks) ولجميع النماذج , وأن أعلى نسبة لفقدان الوزن كانت (12.5% , 11.3% , 14.9% , 13.4% , 14.7% , 12.4%) وذلك لخلائط (35%Starch/PVA) و

(35%Sugar/35%Starch/PVA) و (15% Sugar/15%Starch/PVA grafted with MMA) على التوالي. نلاحظ ان النماذج المطمورة على مسافة (4cm) يكون فقدان الوزن فيها أعلى من تلك التي تم طمرها على مسافة (13cm) ولو ان الاختلاف بسيط وذلك لقلة الاوكسجين الواصل الى تلك المنطقة. حيث ان وجود الاوكسجين يعمل على تكوين البيروكسيدات والتي تقوم بمهاجمة السلسلة البوليمرية, تنتج البيروكسيدات من تفاعل الاوكسجين مع الجذور الحرة (Free Radical) الناتجة عن عملية التفكك الاحيائي وتعمل كمحفزات لعملية التفكك حيث تقوم بمهاجمة السلاسل البوليمرية وبذلك تحدث عملية تفكك ذاتي للبوليمر مدار البحث (Autodegradation) [24,25].

من ناحية اخرى لوحظ ان (PVA) يمتلك اقل نسبة في فقدان الوزن حيث ان (PVA) يكون اكثر صموداً للتفكك الاحيائي [13,26]. في الشكل (17) و(20) نلاحظ ان خلائط النشا/سكر/بولي فينيل الكحول (Starch/Sugar/PVA) المطعم بالMMA, أظهر فقدان بالوزن أعلى مقارنة بالنتائج غير المطعمة , حيث ان عملية فقدان الوزن تتأثر بتركيب الخليط , إضافة الى طبيعة ونوع الاحياء المجهرية الموجودة في التربة وأظهرت النتائج ان أعلى نسبة لفقدان الوزن كانت أيضاً لأعلى محتوى من خلائط النشا/سكر/بولي

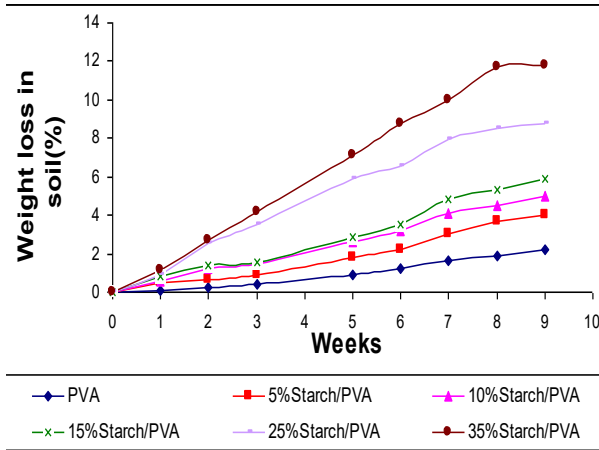
فينيل الكحول (Starch/Sugar/PVA). نلاحظ هناك تغيير في نسبة فقدان الوزن تختلف باختلاف نسبة النشا ونسبة السكر وقبل وبعد تطعيمها بالمثل ميثا أكرليت مما يدل على ان فقدان الوزن او التفكك الاحيائي يعتمد على طبيعة ونوع الخليط . وهذا يتفق مع ماجاء في المصادر [23]. كما انه يعتمد على فيما اذا كانت التربة جافة ام رطبة, حيث انه من الواضح يقل فقدان الوزن بازدياد الوزن الجزيئي (PVA) وأذا كانت التربة جافة (كما هو عليه الحال في التربة المستخدمة لطرر النماذج مدار البحث). حيث ان التفكك في وسط رطب يتحقق خلال فترة اقصر. تشير هذه النتيجة ان عملية خلط النشا/بولي فينيل الكحول (Starch/PVA) يعزز من عملية التفكك الاحيائي حيث تبدأ عملية التفكك الاحيائي للنشا تاركاً المادة الاساس (PVA) ذي مسامات وذي قابلية على التفكك ايضاً لذا يقل فقدان بالوزن بعد ازدياد مدة الطمر عن ستة اسابيع , وان استخدام التربة الجافة يعمل على تقليل قابلية التفكك في حين التربة الرطبة ونظراً لوجود الماء فيها يعزز ذلك من ذوبان خلائط النشا /بولي فينيل الكحول (Starch/PVA) مؤدياً الى حدوث عملية التفكك الاحيائي بشكل اسرع وهذا يتفق مع المصادر السابقة [11,23].

في المرحلة الاولى فأن معدل التفكك الاحيائي (rate Biodegradation) يكون اسرع. وحيث ان فقدان الوزن يتأثر حسب نوع الخلائط مدار البحث وطبيعة الاحياء المجهرية الموجودة في التربة , وكما ذكرنا سابقاً ان أعلى نسبة كانت للنماذج التي تحتوي على أعلى نسبة من النشا, حيث خلال عملية التفكك تظهر فجوات كروية ناجمة عن مهاجمتها من قبل مستعمرات من الاحياء المجهرية المسؤولة عن التفكك. ويعتبر النشا والمواد المدنة السكر هي اول من يتم استهلاكها من قبل الاحياء المجهرية مع الجزء العشوائي من (PVA). حيث عندما يتم تفكك النشا بشكل تام والسكر يتم تفكك (PVA) ايضاً ولكن بشكل ابطاً من النشا والسكر [23]. فعليه نلاحظ جميع الشرائح المطمورة في التربة تعاني من فقدان الوزن وتزداد نسبة فقدان بالوزن بزيادة زمن الطمر وكذلك نلاحظ فقدان بالوزن يقل بأزدياد محتوى (PVA). ان التفكك الحيوي للخلائط مدار البحث اعلى من (PVA) يعود ذلك الى قابلية التحلل العالي للنشا والسكر لذا تكون نسبة فقدان الوزن في الاسابيع الستة الاولى اسرع ومن ثم يكون ابطاً ولكن تستمر عملية



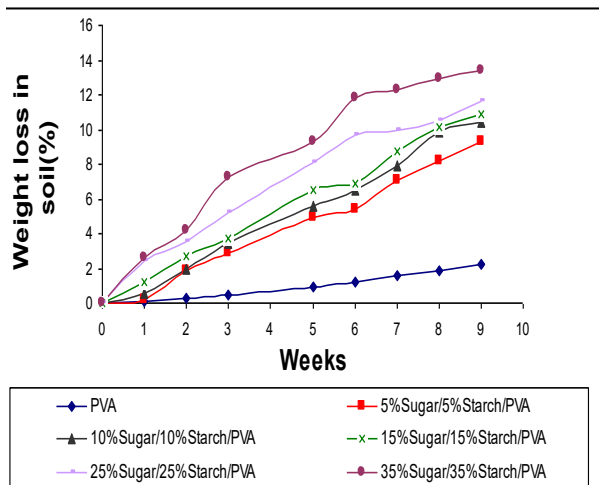
شكل 17. يوضح الطمر الهوائي (aerobic) لخللاط

(Starch/Sugar /PVA grafted with MMA)

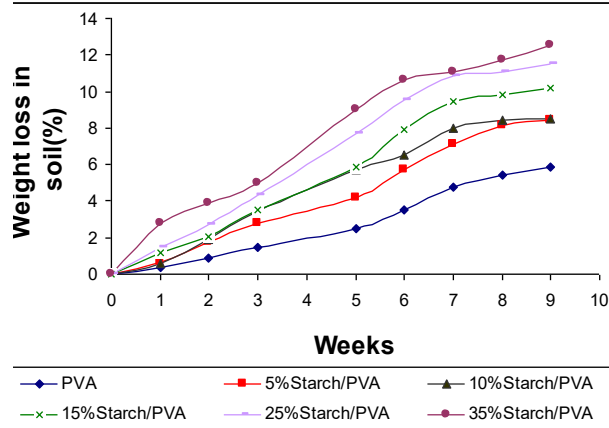


شكل 18. يوضح الطمر اللاهوائي (Anaerobic) لخللاط

(Starch /PVA)

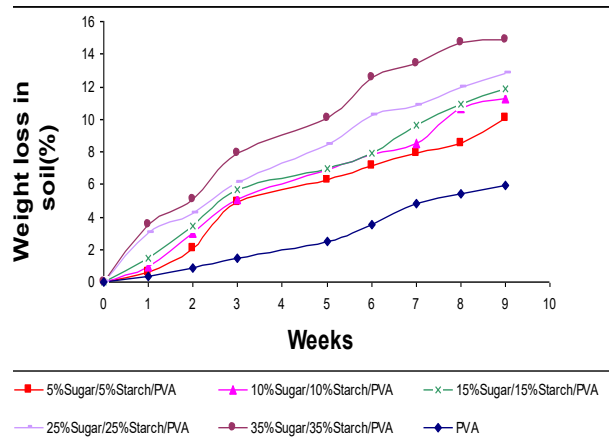


التفكك الاحيائي بشكل بطيء حتى يتم استهلاك ماتبقى من (Nutriente) من قبل الاحياء المجهرية ويتحول جميع الكربون الى اوكسيد الكربون [27].



شكل 15. يوضح الطمر الهوائي (aerobic) لخللاط

(/PVA)



شكل 16. يوضح الطمر الهوائي (aerobic) لخللاط

((Starch/Sugar /PVA

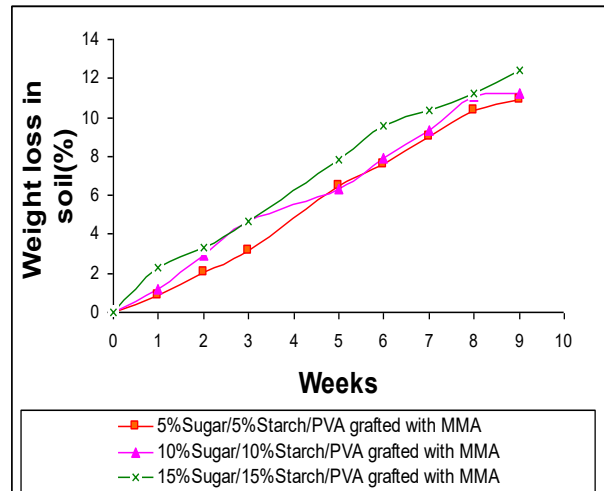
الالفاتية . وأن الحزمة ( $3266.08\text{cm}^{-1}$ ) تعود الى تمدد الاصرة (OH) Stretching] (OH) [11]. وأطياف تحولات فورير (FT-IR) للنشا; نلاحظ ظهور حزم عند المدى ( $704.55\text{cm}^{-1}$ ) ( $926.26\text{cm}^{-1}$ ) تعود الى التواء الاصرة (C-H) bending] [(C-H) وظهور حزم عند ( $996.45\text{cm}^{-1}$ ,  $926.26\text{cm}^{-1}$ ) تعود الى تمدد الاصرة (C-O) Stretching] (C-O) وظهور حزم عند ( $1339.62\text{cm}^{-1}$ ) تعود الى التواء الاصرة ( $-\text{CH}_2$ ) bending] ( $-\text{CH}_2$ ) وأن الحزمة ( $1602.87\text{cm}^{-1}$ ) تعود الى اهتزاز الاصرة ( $\text{CH}_2$ ) Wagging] ( $-\text{CH}_2$ ) وتمدد الاصرة (C=C) Stretching] (C=C) وظهور مدى من الحزم يقع ما بين ( $1602.87 - 1734.29\text{cm}^{-1}$ ) (C=O) Stretching] (C=O) تعود الى تمدد الاصرة (C=O) وترجع الى (C=O) وحزم عند ( $2925.52\text{cm}^{-1}$ ) ترجع الى تمدد الاصرة الاروماتية (C-H) ; الحزمتين ( $3588.83\text{cm}^{-1}$ ,  $3279.85\text{cm}^{-1}$ ) تعود الى تمدد الاصرة (OH) Stretching] (OH) .

[14] [

أما أطياف تحولات فورير (FT-IR) للسكر ; نلاحظ فيه ظهور عدة حزم تقع ما بين ( $915.40\text{cm}^{-1}$ ) ( $715.79\text{cm}^{-1}$ ) تعود الى التواء الاصرة (C-H) bending] [(C-H) وحزمتين عند ( $915.40\text{cm}^{-1}$ ,  $996.21\text{cm}^{-1}$ ) تعود الى تمدد الاصرة (C-O) C-O Stretching] ; كما يظهر في الطيف حزمتين عند ( $1338.23\text{cm}^{-1}$ ) و ( $1372.92\text{cm}^{-1}$ ) تعودان الى تمدد الاصرة الالفاتية (C-H) Stretching] (C-H) مع ظهور حزمة عند المدى ( $3247.3\text{cm}^{-1}$ ) تعود الى تمدد الاصرة (OH) Stretching] (OH) [28].

وأطياف تحولات فورير (FT-IR) للمثيل ميثا اكريليت (MMA) : لوحظ ظهور حزم عند ( $815.97\text{cm}^{-1}$ ) و ( $880.52\text{cm}^{-1}$ ) تعود الى التواء الاصرة (C-H) bending] (C-H) مع تمدد

شكل 19. يوضح الطمر اللاهوائي (Anaerobic) لخلات (Starch/Sugar /PVA)



شكل 20. يوضح الطمر اللاهوائي (Anaerobic) لخلات (Starch/Sugar /PVA grafted with MMA)

### 3-5 دراسة أطياف تحولات فورير (FT-IR)

تبين الاشكال (21) و (22) و (23) أطياف تحولات فورير للنماذج المحضرة مدار البحث, حيث ان اطياف تحولات فورير للبولي فينيل الكحول (PVA) : نلاحظ ظهور حزم عند ( $828.34\text{cm}^{-1}$ ) ( $916.28\text{cm}^{-1}$ ) تعود الى التواء الاصرة (C-H) bending] [(C-H) وتمدد الاصرة (C-O) Stretching] [(C-O) يظهر في الطيف أيضاً حزم عند ( $1324\text{cm}^{-1}$ ,  $1376\text{cm}^{-1}$ ) تعزى الى التواء الأصرة ( $-\text{CH}_2$ ) bending] [(C-H) وحزم عند ( $1578.89\text{cm}^{-1}$ ) تعود الى اهتزاز الاصرة ( $-\text{CH}_2$ ) Wagging] [(C-H) وتمدد الاصرة (C=O) Stretching] (C=O) نلاحظ ايضاً حزم عند ( $1578.89\text{cm}^{-1}$ ) ( $1655.79\text{cm}^{-1}$ ,  $1708.51\text{cm}^{-1}$ ) تعود الى تمدد الاصرة (C=O) Stretching] (O=C) وأن الحزمة ( $1708.51\text{cm}^{-1}$ ) تعود الى مجاميع الاستيت المتبقية من عملية تصنيع (PVA) بعملية تحلل البوليفينيل أستيت; كما نلاحظ ظهور حزم عند ( $2935.72\text{cm}^{-1}$ ) تعود الى تمدد الاصرة (C-H)

الاصرة (C-O) [(C-O)Stretching] على التوالي, وظهور حزم عند ( $1305.30\text{cm}^{-1}$ ) و( $1329.52\text{cm}^{-1}$ ) يعود الى التواء الاصرة ( $\text{CH}_2$ -bending) ( $\text{CH}_2$ -), وظهور حزمة عند ( $1725.98\text{cm}^{-1}$ ) تعزى الى تمدد الاصرة (C=O) [(C-O)Stretching] مع ظهور حزمتين عند ( $2831.84\text{cm}^{-1}$ ) و( $2944.67\text{cm}^{-1}$ ) تعود الى تمدد الاصرة الالفاتية (C-H) (C-)Stretching] مع ظهور حزمة عند ( $3330.55\text{cm}^{-1}$ ) تعود الى تمدد الاصرة (O-H) [(O-H)Stretching] الموجودة في الميثانول (Methanol) لان النموذج عبارة عن محلول (MMA+Benzophenon+ Methanol).

اما أطيايف تحولات فورير (FT-IR) لخلائط النشا/بولي فينيل الكحول (Starch/PVA) وللتراكيز (5, 10, 15, 25, 35%) الفيزياوي والتفاعلات الكيماوية تحدث تغيرات في خواص حزم الاطيايف, نلاحظ هناك أختفاء لبعض الحزم عند المدى ( $625-970\text{cm}^{-1}$ ), ( $1550-1750\text{cm}^{-1}$ ) تعود الى التواء الاصرة (H-C) (C-)bending], وتمدد الاصرة (O=C-O) [(C)Stretching] على التوالي, مع ظهور حزم جديدة عند التركيز (35%Starch) عند ( $2853.22\text{cm}^{-1}$ ) تعود الى تمدد الاصرة الاروماتية (H-C) [(H-C) Streching] كما نلاحظ أختفاء لبعض الحزم أيضاً عند المدى ( $1550-1610\text{cm}^{-1}$ ) تعود الى اهتزاز الاصرة ( $\text{CH}_2$ ) Wagging] وتمدد الاصرة (C=C) [(C=C)Stretching] تبين الاطيايف وجود زحف في الحزم نظراً للتغيير في التشكيل الحاصل للمنظومات مدار البحث بتأثير الخلط الفيزياوي, كما لوحظ ظهور حزم عند المدى ( $3100-3600\text{cm}^{-1}$ ) تعود الى تمدد الاصرة (H-O) (O-)Stretching] (H) Rocking] . وجد هناك نمط (C-H) Rocking] المحدد (PVA) عند المدى ( $918-945\text{cm}^{-1}$ ) ولجميع الخلائط وأن ظهور الحزم عند المدى ( $1714-1734\text{cm}^{-1}$ ) تعود الى تمدد الاصرة (C-H)

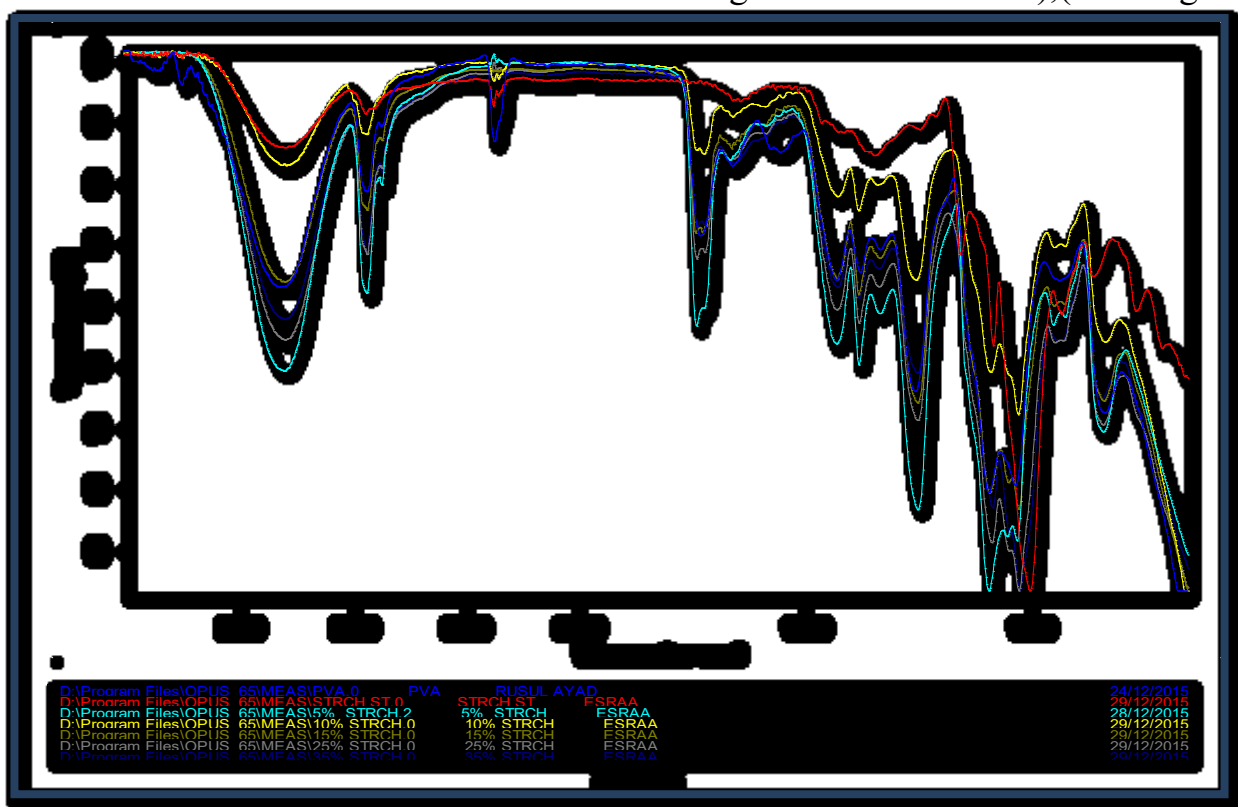
بالنشا وتتفق مع البحوث السابقة [14]. بعد الخلط ظهرت حزم عريضة عند المنطقة ( $3100-3500\text{cm}^{-1}$ ) تعود الى تمدد الاصرة (O-H) وحزم عند ( $1077.33\text{cm}^{-1}$ ) و( $1240.44\text{cm}^{-1}$ ) تعود الى تمدد الاصرة (C-O) من مجاميع (C-O-H) وعند المدى ( $1240.44\text{cm}^{-1}$ ) تعود الى تمدد الاصرة (C-O) الخاصة بمجاميع (C-O-C) الخاصة بوحدة (Glucose) الموجودة في النشا. وأن الحزم عند ( $1374\text{cm}^{-1}$ ), ( $1734\text{cm}^{-1}$ ), ( $1766\text{cm}^{-1}$ ), ( $1330\text{cm}^{-1}$ ), تعود الى النشا وأن الحزم ( $830-840\text{cm}^{-1}$ ) تعود الى النشا أيضاً وهذا يتفق مع [11]. ان أطيايف تحولات فورير (FT-IR) لخلائط النشا/بولي فينيل الكحول (Starch/PVA) بعد خلطها بالسكر وبالتراكيز (5, 10, 15, 25, 35%) نلاحظ ظهور حزم جديدة الى التراكيز (5, 10, 15, 25, 35% Sugar) تعود الى التواء الاصرة (C-)bending] (H) , وأختفاء حزم عند ( $1550-1610\text{cm}^{-1}$ ) بأزدياد نسبة السكر وذلك يعود الى اهتزاز الاصرة ( $\text{CH}_2$ ) Wagging] وتمدد الاصرة (C=C) [(C=C)Stretching] , مع أختفاء بعض الحزم عند المدى ( $1550-1750\text{cm}^{-1}$ ) بزيادة نسبة السكر (15%), وذلك يعود الى تمدد الاصرة (C=O) [(C=O)Stretching] وأختفاء الحزم عند المدى ( $2800-3000\text{cm}^{-1}$ ) يعود الى التواء الاصرة الاروماتية (C-H) مع ظهور حزمة عند المدى ( $3100-3600\text{cm}^{-1}$ ) تعود الى تمدد الاصرة

أ.د. ناهده جمعة  
أسراء جاسم محمد

15%Starch/PVA) نلاحظ أختفاء بعض الحزم عند المدى ( $625.970\text{cm}^{-1}$ ) تعود الى ألتواء الاصرة (C-H) bending [(C-H)], وأختفاء الحزم عند المدى ( $1550-1610\text{cm}^{-1}$ ) يعود الى اهتزاز الاصرة ( $(\text{CH}_2)$  Wagging  $(-\text{CH}_2)$ ) وتمدد الاصرة (C=C) Stretching [(C=C)] ظهور حزمة جديدة عند المدى ( $1550-1750\text{cm}^{-1}$ ) عند ( $1655.77\text{cm}^{-1}$ ) تعود الى تمدد الاصرة (C=C) Stretching [(C=C)]. مع ظهور حزمة عند ( $3100-3600\text{cm}^{-1}$ ) تعود الى تمدد الاصرة (O-H) Stretching [(O-H)] وهذا يتفق مع الجدول (4) يوضح قيم الاواصر لاطياف تحولات فورير-FT (IR) للنماذج مدار البحث [15,28].

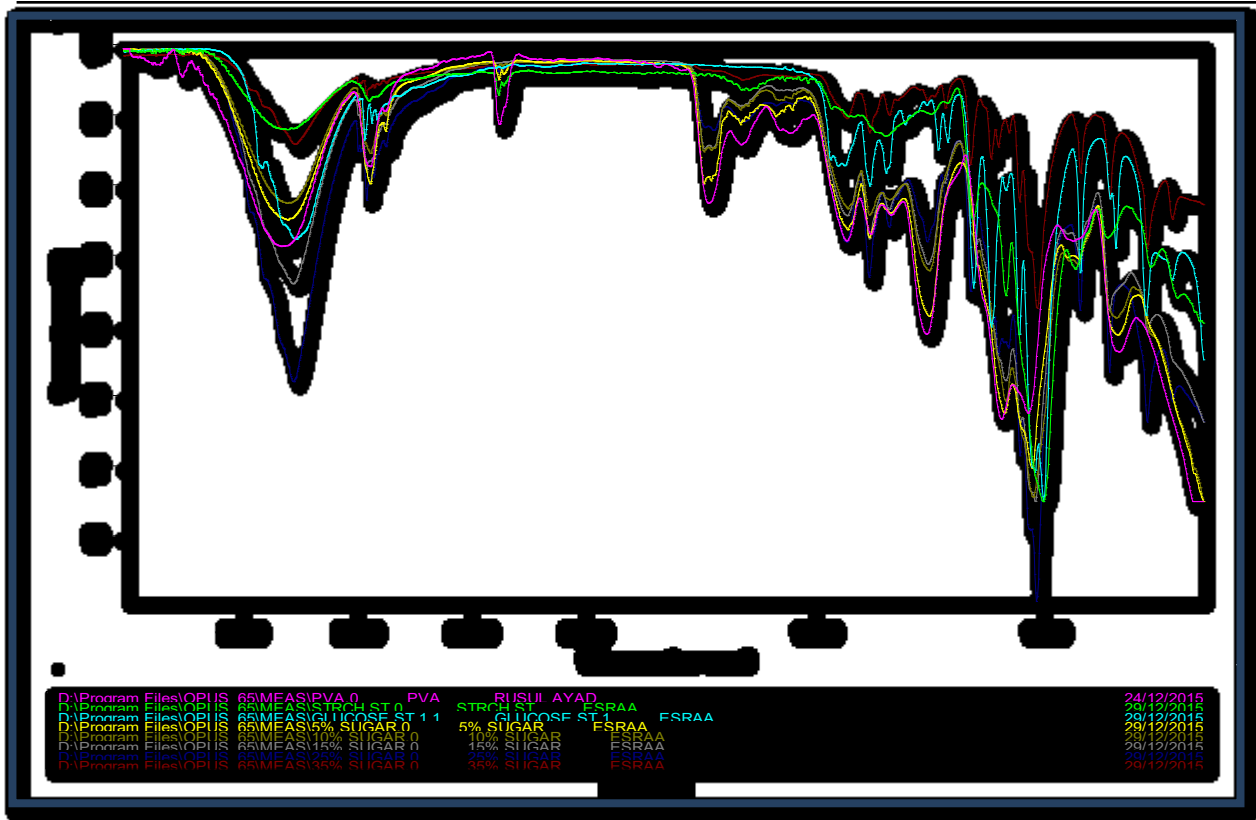
(O-H) Stretching [(O-H)] عند اضافة السكر والنشا نلاحظ توسع في الحزمة ( $3266.08\text{cm}^{-1}$ ) وهذا يرتبط بأهتزاز اصرة (O-H) الخاصة بالنشا الشبة البلوري والسكر مشيرة الى تكوين اصرة هيدروجينية قوية (H-bond). وأن الزحف في الحزم يعود الى ألتواء الاصرة ( $(\text{CH}_2)$  bending [(C-H)]) عند ( $1420.36\text{cm}^{-1}$ ) و( $1730\text{cm}^{-1}$ ) والتوسع في الحزم يؤكد وجود الاصرة الهيدروجينية (H-bond) [13,28].

بينت اطياف تحولات فورير (FT-IR) للنماذج مدار البحث بعد تطعيمها بالمثل ميثا اكرليت (MMA) وبالنراكيز (5, 10, 15%) فقط من السكر (5%Sugar/5%Starch/PVA), 10% Sugar/10%Starch/PVA), (15%Sugar /

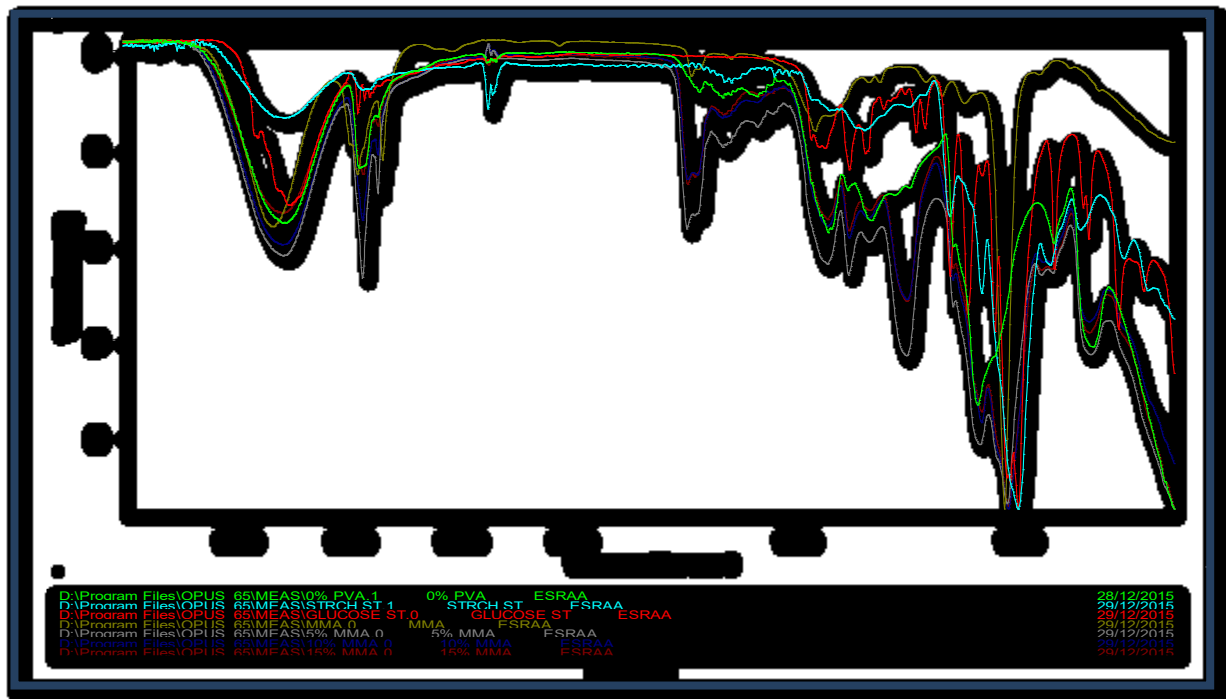


شكل 21. يوضح اطياف تحولات فورير (FT-IR) لل (PVA), (Starch), وخلانط (Starch/PVA)





شكل 22. يوضح أطياف تحولات فورير (FT-IR) لـ (PVA), (Starch), (Sugar) وخليط (Sugar/Starch/PVA)



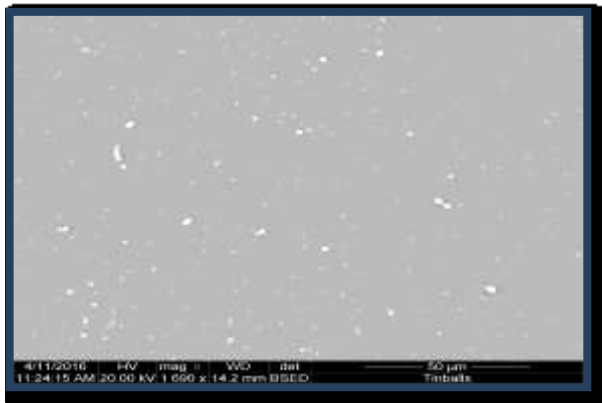
شكل 23. يوضح أطياف تحولات فورير (FT-IR) لـ (PVA), (Starch), (Sugar) ومحلول (MMA) وخليط (Sugar/Starch/PVA grafted with MMA)

الجدول 4. يوضح قيم الاواصر لاطياف تحولات فورير (FT-IR) للنماذج مدار البحث.

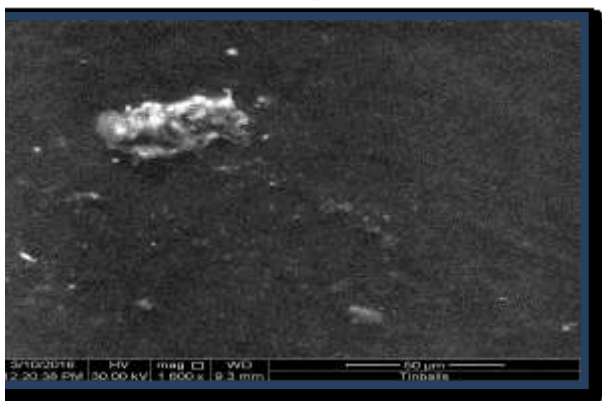
Polymer system	C-H out phase bending 625-970	C-O Stretch 880-1000	CH <sub>2</sub> Bending 1300-1380	CH <sub>2</sub> wagging C=C Stretch 1550-1610	C=O Stretch 1550-1750	C-H Stretch Aromatic 2800-3060	C-H Stretch aliphatic 2800-3000	Hydroxy I 3100-3600
PVA	828.34 916.28	916.28	1324 1376	1578.89	1578.89 1655.79 1708.51	-----	2935.72	3266.08
Starch	704.55 762.97 856.97 926.26	926.26 996.45	1339.62	1602.87	1602.87 1636.00 1669.73 1697.70 1734.29	2925.52	-----	3279.55 3588.83
Sugar	715.79 772.45 838.14 915.40	915.40 996.21	1338.23 1372.92	-----	-----	-----	2880.98 2913.29 2943.26	3241.73
MMA+ Benzophenon+ Methanol	815.97 880.52	880.25	1305.30 1329.52	-----	1725.98	-----	2831.84 2944.67	3330.85
5%Starch/PVA	834.47 945.09	945.09	1327.82 1374.07	-----	1732.60	2921.35	-----	3285.96
10%Starch/PVA	830.71 919.35 943.12	919.35 943.12	1333.56 1374.90	-----	1652.20 1716.61	2922.17	-----	3277.22
15%Starch/PVA	833.23 943.46	943.46	1328.49	-----	1666.46 1718.71	2920.01	-----	3284.29
25%Starch/PVA	835.10 941.48	914.48	1329.37 1373.62	-----	1658.40 1731.95	2919.31	-----	3282.29
35%Starch/PVA	836.80 938.79	938.79	1329.73 1373.75	-----	1651.06 1732.49	2853.64 2921.25	-----	3284.34
5%Sugar/ 5%Starch/PVA	833.98 919.18	919.18	1328.86 1374.61	1577.73	1577.73 1654.88 1734.43	-----	2852.68 2920.71	3280.35
10%Sugar / 10%Starch/PVA	837.19 920.41	920.41	1330.63 1374.44	1571.09	1571.09 1656.19 1734.33	-----	2919.20	3281.60
15%Sugar/ 15%Starch/PVA	769.90 852.21 916.94	916.94	1331.18 1374.56	-----	1656.37 1732.88	-----	2936.18	3257.62
25%Sugar/ 25%Starch/PVA	715.37 770.28 852.32 916.15	916.04	1331.14 1374.81	-----	1661.18 1713.74	-----	2936.14	3252.80
35%Sugar/ 35%Starch/PVA	715.36 769.60 851.72 915.01	915.01	1330.50 1373.60	-----	1649.70	-----	2936.92 2971.81	3249.86
5%Sugar/ 5%Starch/PVA Grafted with MMA	834.55 945.01	945.01	1329.15 1375.12	-----	1655.77 1735.79	-----	2852.97 2922.17	3277.59

10%Sugar/ 10%Starch/PVA Grafted with MMA	838.09 922.41	922.41	1374.06	-----	1657.13 1734.73	-----	2853.25 2921.75	3279.10
15%Sugar/ 15%Starch/PVA Grafted with MMA	837.32	-----	1326.83 1374.35	-----	1654.68 1734.37	-----	2919.18	2383.16

بال(PVA) وهذا يتفق مع نتائج فحوصات الخواص الميكانيكية [29]. بأزدياد نسبة السكر نلاحظ تناقص في تجمعات السكر اي زيادة في توافق الخلائط مدار البحث [29]. بالنسبة للنمذجة (5%Sugar/5%Starch/PVA) المطعمة بالميثا اكريليت (MMA) نلاحظ ازدياد في تجمعات السكر نتيجة لحدوث عملية التشابك (Crosslinking) نتيجة للتعرض للأشعة فوق البنفسجية [13].



شكل 24. صورة المجهر الإلكتروني الماسح SEM للـ (PVA)



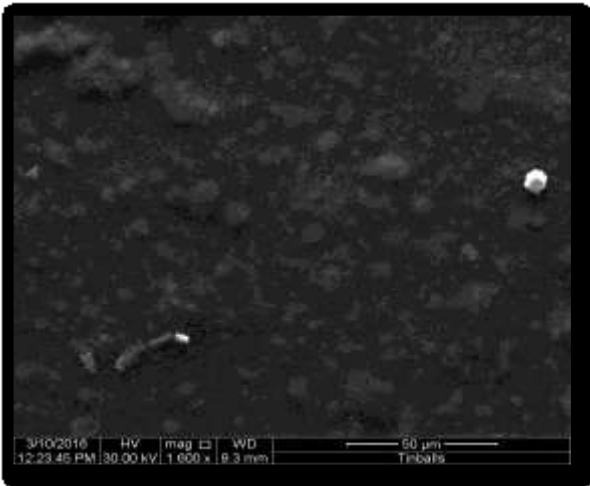
شكل 25. صورة المجهر الإلكتروني الماسح SEM للتركيز (5%Sugar/5%Starch/PVA grafted) with (MMA)

### 3-6 دراسة صور المجهر الإلكتروني الماسح (Scanning Electron Microscopy (SEM))

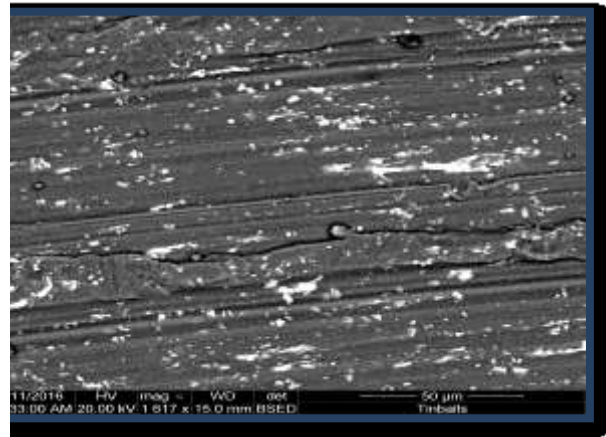
الاشكال من (24) الى (30) توضح صور المجهر الإلكتروني الماسح (SEM) لنماذج مدار البحث. نلاحظ ظهور عدد من الفجوات في الـ (PVA) والتي تشير الى وجود فقاعات قد تم اقتناصها من خلال عملية الصب [11, 29, 26]. بزيادة نسبة النشا فان طور النشا (الطور المشتت) يكون قابل للذوبان في (PVA) , لذا نلاحظ ان الخلائط ذات تركيب متجانس مما يدل على ان الخلائط قابلة للأمتزاج ويعود ذلك الى خاصية (PVA) المحبة للماء والتي تزيد من ترابط الهيدروجين ويزيد من الالتصاق ما بين سلاسل النشا ويتفق هذا مع البحوث السابقة [26]. كما نلاحظ ان نسبة المسامات تزداد بزيادة نسبة (PVA) ويعزى ذلك الى قابلية ذوبان الخلائط مدار البحث [26].

بالنسبة للخلائط المطعمة بالميثا اكريليت (MMA) تعزز الصور سلوك الملى من خلال تفاعله مع السطح الخارجي ونظراً لاحتواءه على خليط مونومير (MMA Mixture) سيتم بلمرته بشكل متجانس , ويعزى ذلك الى حدوث تفاعل قوي ما بين السطوح للنشا, و(PVA) والسكر, والميثا اكريليت (MMA) والتي يتم فيها تفاعل (PVA) مع مجاميع الهيدروكسيل الموجودة في النشا, والسكر, وتحدث البلمرة المشتركة مع (MMA) (PVA-) (CO-MMA) والذي يعزز من عملية اللصق ويزيد من توافق الخلائط [29].

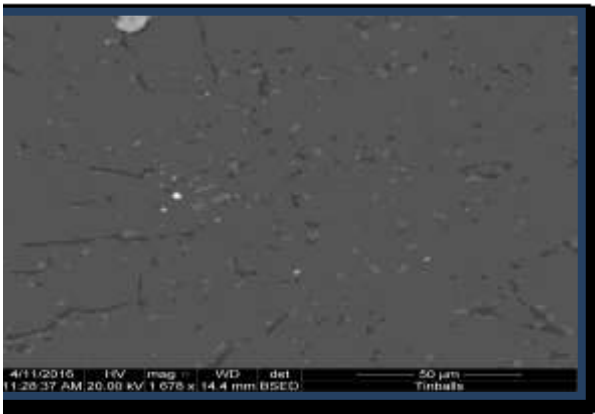
في التركيب (5%Sugar/5%Starch/PVA) نلاحظ ظهور تجمعات في السكر والمسامات والقنوات المفتوحة مكونة تركيب دقيق يشبه القناة (Channel like) من المسامات كما هو مبين في الشكل والتي تعطي متانة اقوى من تلك الخاصة



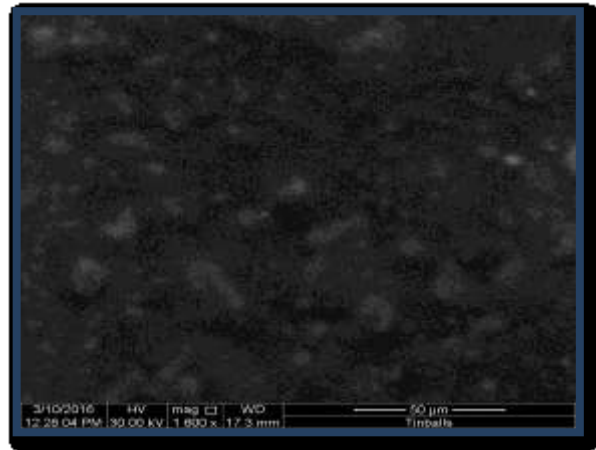
شكل 29. صورة المجهر الالكتروني الماسح SEM للتركيز (15% Sugar/10% Starch/PVA) grafted with MMA)



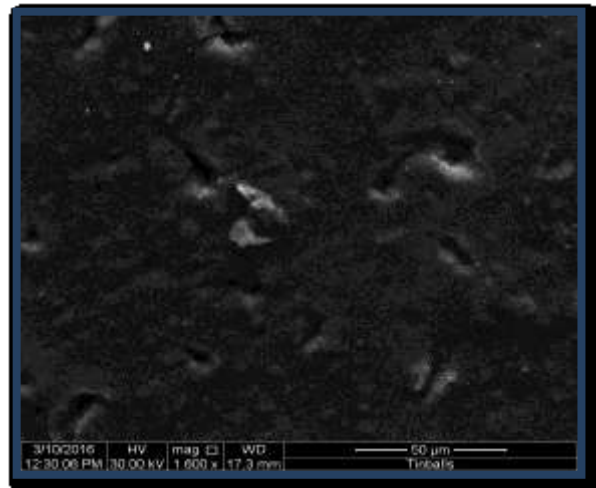
شكل 26. صورة المجهر الالكتروني الماسح SEM للتركيز (5% Sugar/5% Starch/PVA)



شكل 30. صورة المجهر الالكتروني الماسح SEM للتركيز (15% Sugar/10% Starch/PVA)



شكل 27. صورة المجهر الالكتروني الماسح SEM للتركيز (10% Sugar/10% Starch/PVA) (grafted with MMA)



شكل 28. صورة المجهر الالكتروني الماسح SEM للتركيز (10% Sugar/10% Starch/PVA)

#### 4- الاستنتاجات Conclusions

1. أظهرت نتائج دراسة درجة حرارة الانتقال الزجاجي ( $T_g$ )، ودرجة حرارة الانصهار ( $T_m$ ) وذلك باستخدام تقنية التحليل التفاضلي الكالومري (Differential Scanning Calorimetry) تناقص في ( $T_m$  و  $T_g$ ) بأزدياد نسبة النشا والسكر لخلائط النشا/ بولي فينيل الكحول (Starch/PVA) وخلائط النشا/ سكر/ بولي فينيل الكحول (Starch/Sugar/PVA) على التوالي. لوحظ وجود درجة انتقال زجاجي ( $T_g$ ) واحدة ولجميع منحنيات (DSC) والتي تؤكد بأن الخلائط قابلة للامتزاج.

ولجميع النماذج , وأن أعلى نسبة لفقدان الوزن كانت (12.5% , 11.3% ) , (14.9% , 13.4%) و(14.7% , 12.4%) وذلك لخلائط (35%Starch/PVA) و(35% Sugar) و(15%Starch/PVA) /15% Sugar) على (Starch/PVA grafted with MMA) التوالي. نلاحظ ان النماذج المطبوعة على مسافة (4cm) يكون فقدان الوزن فيها أعلى من تلك التي تم طمرها على مسافة (13cm) ولو ان الاختلاف بسيط وذلك لعدم وصول الاوكسجين الى تلك المنطقة. وان التفكك الحيوي السريع لهذه النتائج يجعلها من المواد الصالحة للاستخدام لاغراض التعبئة والتغليف وبنفس الوقت يمكن ان تكون صديقة للبيئة من خلال تفككها احيائيا.

5. وجد من خلال فحوصات FTIR بعد الخلط بالنشا ظهور حزم عريضة عند المنطقه (-3100  $cm^{-1}$ ) عند ( $1077.33cm^{-1}$ ) و( $1240.44cm^{-1}$ ) تعود الى تمدد الاصرة (O-H) وحزم الى تمدد الاصرة (C-O) من مجاميع (C-O-H) وعند المدى ( $1240.44cm^{-1}$ ) تعود الى تمدد الاصرة (C-O) الخاصة بمجاميع (C-O-C) الخاصة بوحدة (Glucose) الموجودة في النشا. كما لوحظ زحف في بعض الحزم مع ظهور واختفاء في بعض الحزم بالنسبة للخلائط مدار البحث قبل وبعد التطعيم MMA وقد اعزى ذلك الى حدوث تغير بالتشكيل.

#### قائمة المراجع :

- 1- Gautam R., Bassi A.S., and Yanful E. K, 2007. "A Review of Biodegradation of Synthetic Plastic and Foams. Appl Biochem Biotechnol", pp. 141.
- 2- Kyrikou J., and Briassoulis D., 2007. "Biodegradation of Agricultural Plastic Films: A Critical Review". J Polym Environ, pp.15, 125.

2. تناقص في متانة الشد بزيادة نسبة النشا وبشكل متدرج ومنظم. تناقص متانة الشد ايضا بأزدياد نسبة سكر في خلائط النشا/سكر/بولي فينيل الكحول (Starch/Sugar/PVA) ولكنها أعلى مما هو عليه الحال في خلائط النشا/بولي فينيل الكحول (Starch/PVA) وبشكل خاص عند (5%Starch/PVA/5% Sugar) تظهر تأثيرات لدنة في متانة الشد لشرائح الخلائط . كما بينت النتائج تناقص في متانة الشد بزيادة نسبة السكر ولوحظ أيضاً أن متانة النماذج المطبوعة بالمثل ميثا أكرليت (MMA) ذات متانة أقل مما هو عليه الحال قبل التطعيم. علما بان متانة الخلائط المستحصلة اعلى بكثير من النتائج في البحوث السابقة للمواد المراد استخدامها لاغراض التعبئة والتغليف.

3. أظهرت النتائج ان زمن الذوبانية لشرائح الخلائط النشا/ بولي فينيل الكحول (Starch/PVA) يقل بزيادة نسبة النشا في الخلائط وقد اعزى ذلك الى مجاميع الهيدروكسيل الموجودة في (PVA) ان الاواصر الهيدروجينية ما بين الجزيئات او داخل الجزيئة والموجودة في مجاميع الهيدروكسيل في (PVA) والنشا تعزز من عملية ذوبان شرائح خلائط النشا/ بولي فينيل الكحول (Starch/PVA) في الماء . ان اضافة الماء الى مجاميع الاستيت المتبقية من عملية تحلل (PVA) جزئياً والذي يمتلك خاصية المواد المحبة للماء تعمل على تلاشي التآصر الهيدروجيني ما بين الجزيئات والذرات في مجاميع الهيدروكسيل, مما يؤدي الى اذابة اعلى لشرائح الخلائط في الماء . ان سعة امتصاص الماء والقابلية على التحلل يعتبران من الخواص الاكثر اهمية في المواد المتفككة بايولوجيا (Biodegradable material) . يعتبر النشا والسكر من المواد الحساسة للماء كما ان مادة النشا تعتبر من المواد المطاوعة للحرارة تؤثر في الخواص الميكانيكية للخلائط. أظهرت النتائج زيادة في قابلية الخلائط مدار البحث على التفكك بالماء وبالتالي يمكن استخدامها كاكياس تسوق قابلة للتحلل او الذوبان في الماء وفي تصنيع المنتجات ذات الاستخدام لرة واحدة.

4. أظهرت النتائج ان قابلية التفكك البايولوجي تزداد بشكل سريع خلال الاسابيع الستة الاولى (6weeks)



and biodegradation behavior”. Vol.2.

10-Fahmida P., Arifur R., Jahid M. M. I., Mubarak A. K., and Saadat A. H. M., 2010” Preparation and Characterization of Starch/PVA Blend for Biodegradable Packaging Material “.Advanced Materials Research Vols .pp.123-125, pp351-354.

11- Elsayed N., Raichan R., Gulzha-khan Y., Perizat U., Saltanat P., Daulet K., Jamal K., Grigory M., and Craig W.,2014.”Improving biodegradability of polyvinyl alcohol /starch blend films for packaging applications “.International Journal of Basic and Applied Sciences, Vol.3, No 3.

12- Sreedhar B., Sairam M., Chattop- adhyay D. K., Syamala R. P. A. and Mohan R. D.V.,2005 “Thermal, mechanical, and surface characterize- ation of starch- poly(vinyl alcohol) blends and boraxcrosslinked films”, Vol. 96, pp.1313–1322.

13- Fahmida P. , Mubarak A. K. , Saadat A. H. M. , Anwar M. H. K. , Jahid M. M. ,Islam M. A. , and Gafur M. A., 2011” Preparation and Charac- terization of Gamma Irradiated Sugar Containing Starch/Poly (Vinyl Alcoh-ol)-Based Blend Films”. Journal of Polymers

3- Jayasekara R.,Harding I., Bowater I.,and Lonergan G., , 2005.” Biodegr- adability of Selected Range of Polymers and Polymer Blends and Standard Metho- ds for Assessment of Biodegradation” .J Polymer Environ. pp.13, 231.

4- Falkiewicz D., Michalina, Janda, Katarzyna, Wypych, and George ,2010.” Handbook of biodegradation, bio deterioration and bio stabilization “. Toro- nto Chemtec Publishing, pp .250.

5- Sunisa P.,2005. “Electro spinning of Poly(Vinyl alcohol)/Chitosan Fibers for Wound dressing application “, M.Sc. Thesis, Graduate College /Department of Industrial Chemistry “, Graduate College, pp.7.

6- طارق اسماعيل كاخيا,2006. "كيمياء وتكنولوجيا النشا والجلوكوز ومشتقاته م1", pp39-41.

7-Lee S.Y., and Hanna M.A.,2009 “Tapio- ca starch-poly(lactic acid)- Cloisite 30 B nanocomposite foams”. Polymer Composites, vol.30, pp.665-672.

8- Parra D., Tadini C., Ponce P., and Lugao A.,2004 “Carb Polymer”, pp.58,475.

9- Mohammad T.T., Narges S. and Babak G.,2013.” Polyvinyl alcohol :starch : carboxymethyl cellulose containing sodium montmorillonite clay blends; mechanical properties

- 21- Schmaljoham D., 2006 "Advanced Drug Delivery", Delivery "Review", vol. 58, pp. 1655-1670. [http://dx.doi.org/10.1016, add.](http://dx.doi.org/10.1016/j.addr.2006.08.001)
- 22-James E. M., 2007. "Physical properties of polymers", Handbook, Springer Science + Business Media, LLC, 2007.
- 23- Marufa N. and Zainul A., 2013 "Effect of Sugar, Urea, and Molasses and the Influence of Radiation on the Plasticization of Acacia catechu Extract Incorporated Starch/Poly-(Vinyl Alcohol) Based Film", *Iran Polymer Science*, pp.10.
- 24- Harith I. J., Kawakib J. M., and Mohanad I. K., 2014. "Biodegradation Behavior of PVA/Corn Starch Blend Films under the Influence of  $\alpha$ -amylase Solution Immersion, Soil Burial and Water immersion". Department of Physics, College of Science, University of Baghdad, Baghdad, Iraq. Vol.55, No.2A, pp.419-424.
- 25-Hiba S.A., 2016. "Study the effect of SiO<sub>2</sub> addition on the properties of (PVA) for adhesion application", M.Sc.thesis, University of Technology, Applied Sciences.
- 26- Azahari N. A., Othman N., and Ismail H., 2011. "Biodegradation Studies of Polyvinyl Alcohol/Corn Starch Blend Films in Solid and Solution Media". *Journal of Physical Science*, Vol. 22(2), pp. 15–31.
- and the environment, Vol.19, Issue 4, pp. 1013-1022.
- 14- Elisabeta E. T., Mona E. P., Maria R., and Ovidiu P., 2015. "Preparation and characterization of Biopolymer blends based on polyvinyl alcohol and starch", *Romanian Biotechnological Letters*, Vol. 20, No. 2.
- 15- Susmita D. S., Anshuman S., Shivani G. V., and Meenakshi G., 2014. "Preparation of Starch-Poly Vinyl Alcohol (PVA) Blend Using Potato and Study of Its Mechanical Properties". *International Journal of Pharmaceutical Science Invention* ISSN (Online), Vol.3, Issue 3, pp.33-37.
- 16- Gontard N., Guierd S., and Cers J.L.J., 1993. "Food sci", Vol. 58, pp.206-211, <http://dx.doi.org/10.1016/j.foodsci.1993.03.001>.
- 17-Oh S.H, Kang S., Kim E.S.C., and Lee J.H., 2003 "Biomaterials", pp.22-24.
- 18-Yu D., and Warg N.M. X, 2005. "Starch" vol.57, pp.494-504, [http /dx.doi.org /10 1002/starch-200500423](http://dx.doi.org/10.1002/starch.200500423).
- 19-Thawien B., and Songkharnd J.H., 2008. "Sci Techard", vol. 30, pp.149-165.
- 20-Comyn J, 1997. "Adhesion science", RSC.Paper base, The Royal society of chemistry. Cambridge .uk.



29- Saiful I., Sinin H., Mansor B. A., Mahbub H., Azman H., Mohamad H. M. K., and Jawaid M., 2014." Effect of PVA-co-MMA Copolymer on the Physical, Mechanical and Thermal Properties of Tropical Wood Materials", *Advances in Materials Science and Engineering*, Vol.8.

27- Hader W.Q., 2015."Weathering Effect on the Physical Properties of Polymer Composites", M.SC. Thesis, University of Technology , Applied Sciences.

28- Anuj K., Negi Y. S., Bhardwaj N. K., and Choudhary.V.,2013. "Synthesis and characterization of cellulose Nano crystals/PVA based bionano- composite", vol.4(8), pp.626-631.

## Preperation and Characterization of polymer Blend for Biodegradable Packaging Material

Prof, Dr. Nahida J.H

Esraa J. M.

University of Technology / Applied Sciences,

### ABSTRACT

This work was carried out in three stage: the first stage was preparation of (Starch/PVA) blends as a biodegradable materials for packaging applications ,at different ratio (5,10,15,25,and35%).The second stage ternary blends were prepared of (Sugar/Starch/PVA) of the same ratio(5,10,15,25,and 35%) by using casting method to samples as a thin film. The third stage selects the ratio of the best ultimate strength to copolymerizing with MMA. The(DSC: Differential Scanning Calorimeter))test was carried out ,and the result showed there were decrease in  $T_g$  ,and  $T_m$  by starch ,and sugar ratio increase .It was noted that there was one  $T_g$  for all curves of DSC ,that was assured that the blebs involved were miscible .The mechanical tests was carried out; the results showed decrease in ultimate strength with starch, and sugar ratio increase in Sugar/Starch/PVA blends; but it was more than Starch/PVA especially at (5%sugar/5%starch/PVA). The plasticizing effects appeared in ultimate strength for blend films .The highest ultimate strength was (23.16MPa) for (5%starch/PVA),and(57.1MPa) for (5%Sugar/5%Starct/PVA).For this reason the MMA grafting was done at(5,10,and 15%).It was seen that the ultimate strength decreased with sugar ratio. The results showed the time of solubility for starch/PVA blends decreased with starch ratio. The water absorption capacity and the capacity of degradability were studied for the samples involved as biodegradable materials. The results showed the increase in degradability of the blends involved, then it can be used for packing application as water degradable shopping packaging, and in manufacturing of disposable products. It was found tha the biodegradability rapidly increased at first six weeks for all samples. The highest weight loss was (12.5%, 11.3%),(14.9% ,13.4%), (14.7% ,12.4%) for these blend (35%Starch/PVA),(35%Starch/35%Sugar/PVA), (15%Starch/15%Sugar/PVA grafted with MMA) irrespectively . For Fourier transformation infra-red (FTIR) tests and SEM test were carried out.